

ДВИЖЕНИЕ ПРОФИЛЯ

УДК 532.59

НАД ГРАНИЦЕЙ РАЗДЕЛА ДВУХ ТЯЖЕЛЫХ ЖИДКОСТЕЙ

С. И. Горлов

Институт информационных технологий и прикладной математики СО РАН,
644077 Омск

Задача о движении профиля вблизи границы раздела двух сред представляет интерес прежде всего своими практическими приложениями. Основные результаты в этой области связаны с решением задачи о движении профиля под границей раздела двух тяжелых жидкостей, т. е. в более плотной среде [1]. Однако интересно рассмотреть движение профиля в менее плотной жидкости, в частности в воздухе над водной средой. Этому и посвящена настоящая работа.

Построен алгоритм решения рассматриваемой задачи, позволяющий проводить расчеты с высокой точностью. Для профиля, движущегося над границей раздела водной и воздушной сред, исследована зависимость распределенных и суммарных гидродинамических характеристик, а также формы границы раздела сред от параметров задачи.

1. Рассмотрим линейную краевую задачу об установившемся движении профиля L над границей раздела двух сред. Предположим, что жидкость идеальная, несжимаемая, тяжелая и однородная в слоях D_1 и D_2 . Введем систему координат Oxy , располагая ось Ox вдоль невозмущенной границы раздела и проводя ось Oy через переднюю кромку профиля (рис. 1). Обозначим: g — ускорение силы тяжести, ρ_k , V_k — плотность и скорость на бесконечности перед профилем в слое D_k ($k = 1, 2$), H — отстояние задней кромки профиля от невозмущенной границы раздела сред, α и b — угол атаки и хорда профиля соответственно.

Для описания движения жидкости в слое D_k введем комплексные скорости $V_k(z)$ ($k = 1, 2$), $z = x + iy$. Для функции $\bar{V}_k(z)$ потребуем выполнения следующих условий: аналитичности в D_k (вне контура L при $k = 2$), непрерывности давления и нормальной составляющей скорости при переходе через границу раздела двух сред, затухания возмущенных скоростей в бесконечности перед профилем, непротекания жидкости через контур L . Кроме того, будем искать решение в классе функций, удовлетворяющих постулату Жуковского в задней кромке профиля.

Поставленная краевая задача может быть сведена к одному из двух интегральных уравнений:

$$\operatorname{Im}\{\bar{V}_0(z) e^{i\theta(s)}\} = 0, \quad z \in L; \quad (1.1)$$

$$-\frac{1}{2} \gamma(s) = \operatorname{Re}\{\bar{V}_0(z) e^{i\theta(s)}\}, \quad z \in L. \quad (1.2)$$

Здесь s — дуговая координата точки $z \in L$; $\gamma(s)$ — интенсивность вихревого слоя, моделирующего L ; $\theta(s)$ — угол между касательной к L в точке $z(s)$ и осью Ox ; $\bar{V}_0(z) = \bar{V}_2(z)$ при $z \in L$, а комплексные скорости $\bar{V}_k(z)$ ($k = 1, 2$) определяются формулами

$$\bar{V}_k(z) = V_{k\infty} + \frac{1}{2\pi i} \int_L K_k(z, \zeta) \gamma(s) e^{-i\theta(s)} d\zeta, \quad k = 1, 2; \quad (1.3)$$

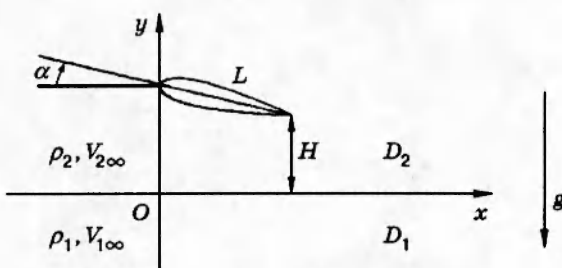


Рис. 1

$$K_1(z, \zeta) = \frac{V_{1\infty}}{V_{2\infty}} \left\{ \frac{m_{12}^2}{\pi i} \frac{1}{z - \zeta} - \frac{\nu_1 m_{12}^2}{\pi} \int_0^\infty \frac{e^{-i\lambda(z-\zeta)}}{\lambda - \nu_1} d\lambda - \nu_1 m_{12}^2 i e^{-i\nu_1(z-\zeta)} \right\}; \quad (1.4)$$

$$K_2(z, \zeta) = \frac{1}{2\pi i} \frac{1}{z - \zeta} - \frac{m_{12}}{2\pi i} \frac{1}{z - \bar{\zeta}} - \frac{\nu_1 m_{12}^2}{\pi} \int_0^\infty \frac{e^{i\lambda(z-\bar{\zeta})}}{\lambda - \nu_1} d\lambda - \nu_1 m_{12}^2 i e^{i\nu_1(z-\bar{\zeta})}, \quad (1.5)$$

где

$$m_{12}^1 = \frac{\rho_1 V_{1\infty}^2}{\rho_1 V_{1\infty}^2 + \rho_2 V_{2\infty}^2}; \quad \nu_1 = \frac{g(\rho_1 - \rho_2)}{\rho_1 V_{1\infty}^2 + \rho_2 V_{2\infty}^2}; \quad m_{12} = m_{12}^1 - m_{12}^2; \quad m_{12}^2 = \frac{\rho_2 V_{2\infty}^2}{\rho_1 V_{1\infty}^2 + \rho_2 V_{2\infty}^2}$$

Выражения (1.4), (1.5) для $K_k(z, \zeta)$ ($k = 1, 2$) представляют собой точные решения соответствующей краевой задачи для вихря единичной интенсивности, полученные на основе метода, изложенного в [2].

Согласно [3], из (1.1), (1.2) получена система интегральных уравнений, не вырождающихся в предельном случае бесконечно малой толщины профиля. Метод решения такой системы уравнений в классе функций $\gamma(s)$, удовлетворяющих постулату Жуковского, изложен в [4]. Форма границы раздела имеет вид

$$f(x) = -\frac{1}{\nu_1} \operatorname{Re} \left\{ m_{12}^1 \left(\frac{\bar{V}_1(z)}{V_{1\infty}} - 1 \right) - m_{12}^2 \left(\frac{\bar{V}_2(z)}{V_{2\infty}} - 1 \right) \right\}, \quad z = x.$$

Здесь $V_k(z)$ ($k = 1, 2$) определяются формулами (1.3)–(1.5).

Распределение давления по профилю и суммарные гидродинамические силы R_x , R_y , а также момент M гидродинамических сил вычисляются по методике [5].

2. Расчет проводился для симметричного профиля Жуковского. Алгоритм расчета тестировался известными решениями задачи обтекания профиля Жуковского безгранич-

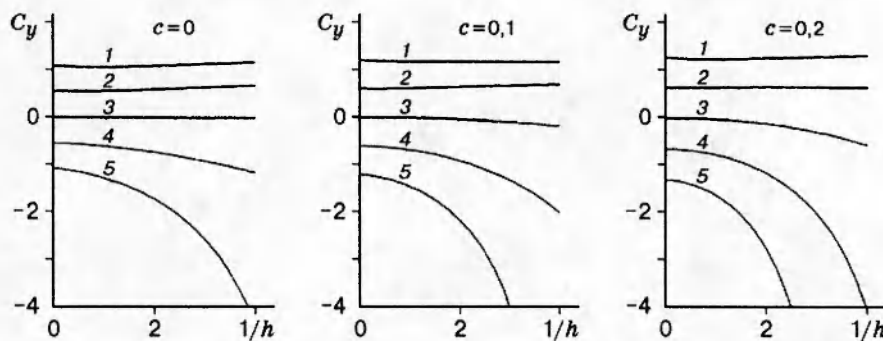


Рис. 2

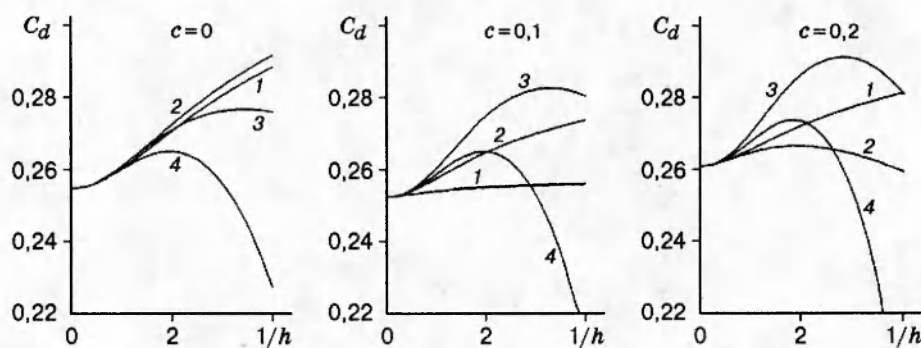


Рис. 3

ным потоком жидкости и движения профиля над твердым плоским экраном [4]. При этом относительная погрешность расчета не превышала 1 %.

Безразмерными параметрами задачи являются: число Фруда $Fr = V_{2\infty}/\sqrt{gb}$, отношение плотностей $\rho_* = \rho_2/\rho_1$, отношение скоростей набегающих потоков $v_* = V_{2\infty}/V_{1\infty}$, безразмерное отстояние задней кромки профиля от невозмущенной границы раздела сред $h = H/b$, относительная толщина профиля c .

Вычислялись стандартные аэродинамические коэффициенты C_x , C_y , C_m , определяющие суммарные аэродинамические силы R_x , R_y и момент M относительно передней кромки профиля, безразмерное отстояние центра давления от передней кромки $C_d = C_m/(C_y \cos \alpha - C_x \sin \alpha)$ и распределение давления вдоль контура профиля — коэффициент $C_p = 2(p - p_\infty)/(\rho_2 V_{2\infty}^2)$, где p , p_∞ — гидродинамическое давление в рассматриваемой и бесконечно удаленной точках.

Для задачи о движении профиля над границей раздела воздушной и водной сред ($\rho_* = 0,00125$, $v_* = 1$) был проведен численный эксперимент по оценке влияния этих параметров на распределенные и суммарные гидродинамические характеристики профиля, а также форму границы раздела сред. Основные результаты представлены на рис. 2–5.

На рис. 2 показана зависимость коэффициента C_y от параметра h для $c = 0; 0,1; 0,2$, $\alpha = 10^\circ; 5^\circ; 0^\circ; -5^\circ; -10^\circ$ (линии 1–5) и $Fr = 1$. С увеличением толщины профиля и с уменьшением его отстояния от границы раздела сред возрастает модуль подъемной силы. Причем этот эффект особенно заметен для отрицательных углов атаки. Аналогичный характер влияния толщины профиля наблюдается и для коэффициента момента C_m . При этом коэффициент C_x имеет порядок 10^{-4} . Расчет также показал, что с увеличением Fr не происходит заметного изменения коэффициентов C_x , C_y и C_m .

На рис. 3 показана зависимость положения центра давления на профиле от параметра



Рис. 4

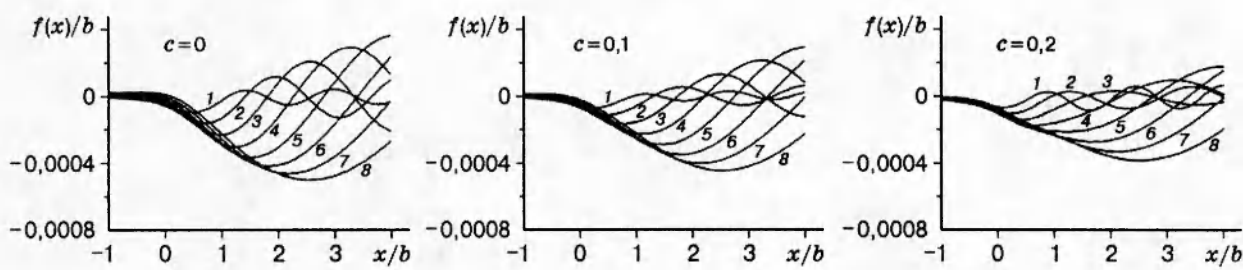


Рис. 5

h для $\alpha = 10; 5; -5; -10^0$ (линии 1–4) и $c = 0; 0,1; 0,2$ при $Fr = 1$. Поведение коэффициента C_d оказалось аналогичным его поведению для задачи о движении профиля над экраном [4].

Представляет интерес рассмотреть распределение давления по контуру профиля (рис. 4). Выбирались следующие значения параметров задачи: $c = 0; 0,1; 0,2$, $\alpha = 5^0$, $h = 0,5$, $Fr = 1$. Заметно сильное изменение распределения давления с ростом толщины профиля.

Зависимость формы границы раздела от числа Фруда ($Fr = 0,5; 0,6; 0,7; 0,8; 0,9; 1,0; 1,1; 1,2$ — линии 1–8) при $h = 0,5$, $\alpha = 5^0$ для $c = 0; 0,1; 0,2$ представлена на рис. 5. При этом сказывается существенное влияние толщины профиля и числа Фруда.

Результаты численного эксперимента позволяют сделать следующие выводы: распределенные и суммарные гидродинамические характеристики профиля, движущегося над границей раздела воздушной и водной сред, практически не зависят от числа Фруда, что позволяет при расчете гидродинамических реакций на профиле моделировать эту границу экраном. Однако форма границы раздела воздушной и водной сред существенно зависит от Fr .

Работа выполнена при финансовой поддержке Российского фонда фундаментальных исследований (код проекта 94-01-01049).

ЛИТЕРАТУРА

1. Басин М. А., Шадрин В. П. Гидроаэродинамика крыла вблизи границы раздела сред. Л.: Судостроение, 1980.
2. Горлов С. И. Решение линейных задач о равномерном движении вихреисточника в многослойной жидкости // Изв. РАН. МЖГ. 1995. № 3. С. 127–132.
3. Горелов Д. Н. Об интегральных уравнениях задачи обтекания профиля // Изв. РАН. МЖГ. 1992. № 4. С. 173–177.
4. Горелов Д. Н., Горлов С. И. Движение профиля вблизи плоского экрана // ПМТФ. 1995. Т. 36, № 1. С. 47–52.
5. Горелов Д. Н. Расчет распределения давления вблизи передней кромки профиля в методе дискретных вихрей // ПМТФ. 1996. Т. 37, № 1. С. 114–118.

Поступила в редакцию 16/VI 1995 г.